



# TRABALHO COMPUTACIONAL 1: FUZZY C-MEANS

UNIVERSIDADE FEDERAL DE MINAS GERAIS

DEPARTAMENTO DE ENGENHARIA ELÉTRICA

---

## ELE075 - Sistemas Nebulosos

---

*Autor:* Moises Mendes de Assis  
(Matrícula: 2014015524)

Data: 22 de abril de 2018

# 1 Introdução

O algoritmo *Fuzzy C-Means* é um método de agrupamento (*clustering*) de dados baseado na teoria de conjuntos nebulosos (*fuzzy*), em que um dado pode pertencer a mais de um grupo. O grau de pertencimento a um grupo é definido com base na distância entre cada ponto e alguns pontos específicos chamados centroides, que é definido pelo parâmetro  $C$ . Este trabalho acompanha os códigos em *MATLAB* com a implementação do método. Serão descritas as decisões de implementação, a validação do algoritmo com a base de dados FCM e uma aplicação do método para segmentação de imagem.

## 2 Decisões de implementação

As principais decisões de implementação envolvem a escolha de alguns parâmetros e operações, descritas a seguir.

### 2.1 Parâmetro $C$ (número de grupos)

O parâmetro  $C$  é o número de médias ou centroides calculadas pelo método, e também representa o número de grupos identificados, cada um associado com um centroide. Foram feitos testes com dois tipos de dados: um deles foi a base de dados FCM e o outro foram imagens.

No caso da base de dados FCM foi possível visualizar os dados graficamente, pois a base de dados é formada por 800 pontos com coordenadas  $x$  e  $y$ . Visualmente, foi possível identificar que se tratavam de 4 grupos de dados, portanto  $C = 4$ . Já no caso das imagens, o número de grupos é escolhido de acordo com uma inspeção visual, com base na quantidade de cores das diferentes regiões da imagem. Foram utilizados valores de  $C$  variando entre 5 e 8 grupos.

### 2.2 Inicialização da matriz de pertinência

Para inicialização da matriz, utilizou-se uma distribuição uniforme (função `randi` do *MATLAB*). Gerou-se uma matriz de números inteiros e dividiu-se cada linha pela soma daquela linha, de modo que a soma dos valores em cada linha fosse igual a 1.

### 2.3 Atualização da matriz de pertinência

A atualização da matriz de pertinência é calculada em função da distância entre um ponto  $x$  e os centroides. Para calcular a distância foi utilizada a norma do vetor  $x - c_k$ , onde  $c_k$  é o centroide do grupo ou *cluster*  $k$ . Essa norma é então elevada ao quadrado e utilizada no cálculo da pertinência da seguinte forma: quanto mais próximo um ponto estiver do centroide  $c_k$ , maior será o seu grau de pertencimento ao grupo  $k$ . Além disso, é importante garantir que a soma de cada linha continue igual a 1 após essa atualização.

## 2.4 Critério de parada

Foram definidos critérios de parada diferentes para cada um dos dois testes, um para o teste com a base de dados FCM e outro para a segmentação de imagens.

1. **Base de dados FCM.** O critério utilizado para essa base de dados foi verificar se os pontos não mudaram de grupo entre duas iterações consecutivas. Isso foi possível pois o número de pontos era relativamente pequeno ( $n = 800$  pontos).
2. **Segmentação de imagens.** Nesse caso não foi possível aplicar o mesmo critério de parada utilizado no caso anterior, pois o número de pontos obtidos da conversão da imagem para RGB foi muito grande (entre 250 mil e 300 mil pontos). Portanto, o critério foi verificar se os centroides não mudavam muito entre duas iterações consecutivas. Para isso utilizou-se a ideia da norma infinita entre os centroides de uma iteração  $k$  e da iteração  $k + 1$ .

$$\max_i (\max_j (c_k, c_{k+1})) < \epsilon$$

Lembrando que  $c_k$  e  $c_{k+1}$  são matrizes, são necessários duas operações de máximo, uma que retorna um vetor e outra que retorna um valor. Além disso, o valor de  $\epsilon$  foi definido empiricamente a partir de testes com as imagens como  $\epsilon = 0.1$ .

## 3 Validação com a base de dados FCM

A base de dados FCM é composta pelo conjunto de  $n = 800$  pontos apresentados na Figura 1. É possível verificar visualmente a presença de 4 grupos distintos. Foram realizados três testes com essa base de dados:

1. Agrupamento em  $K = 2$  grupos (Figura 2)
2. Agrupamento em  $K = 4$  grupos (Figura 3)
3. Agrupamento em  $K = 8$  grupos (Figura 4)

Para cada um dos testes acima, o algoritmo *Fuzzy C-means* foi comparado com o algoritmo *K-means*. Para isso, ambos foram executados  $N = 30$  vezes para cada uma das três instâncias acima ( $K = \{2, 4, 8\}$ ). Foi realizada uma comparação em termos de:

- i. número médio de iterações até a convergência,
- ii. número de vezes que o algoritmo encontra valores adequados para os centros dos *clusters*.

A verificação de valores adequados para os *clusters* foi feita através de inspeção visual do resultado do algoritmo, como nas Figuras 2-4, que apresentam os valores adequados para os centros dos *clusters*. Escolheu-se números para os quais

seria possível identificar facilmente grupos diferentes e igualmente divididos espacialmente. Para  $K = 2$ , dois grupos com duas nuvens de pontos são identificados, como mostrado na Figura 2. Para  $K = 4$ , cada nuvem de pontos deve ter um grupo associado a ela, como indicado na Figura 3. Finalmente, para  $K = 8$ , cada nuvem de pontos deve ter dois grupos associados a ela, como apontado na Figura 4.

Os resultados dos testes descritos acima são sumarizados nas Tabelas 1-3, que apresentam a comparação entre os dois algoritmos em termos de número de acertos na identificação dos *clusters* e número médio de iterações.

Os valores reportados nas Tabelas 1-3 mostram que, no geral, o algoritmo *Fuzzy C-means* demora mais iterações a convergir, porém encontra melhores resultados que o algoritmo *K-means*. Além disso, percebe-se que o *Fuzzy C-means* tem uma taxa de acerto maior que o *K-means*, especialmente à medida que o número de grupos a serem identificados aumenta.

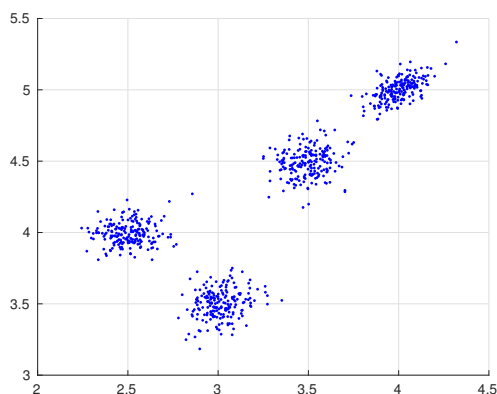


Figura 1: Base de dados FCM

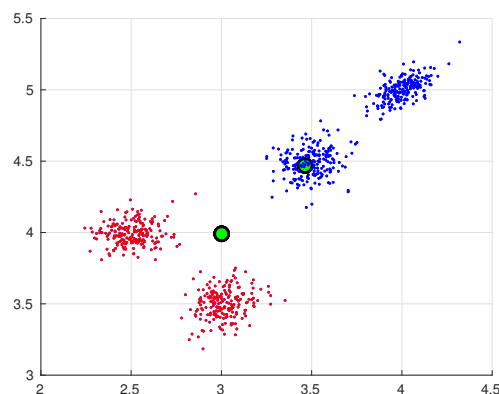


Figura 2: Resultado para  $K = 2$

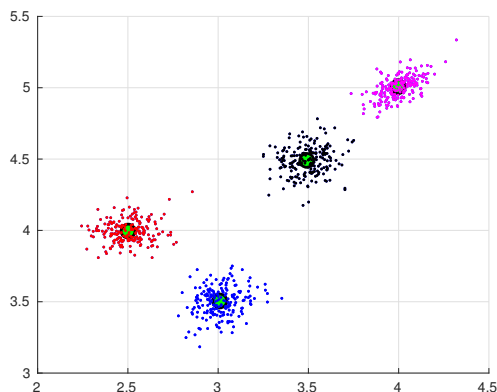


Figura 3: Resultado para  $K = 4$

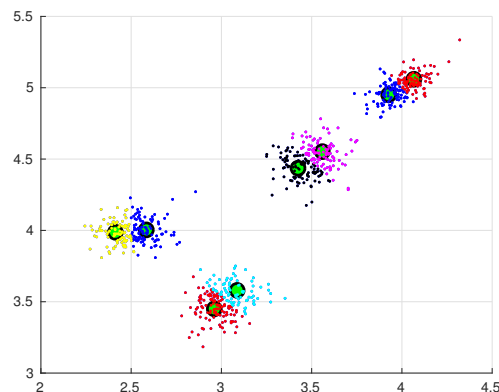


Figura 4: Resultado para  $K = 8$

Tabela 1: Comparação para  $K = 2$  grupos

$N = 30$ execuções	K-means	C-means
<b>Erros</b>	0 (0%)	0 (0%)
<b>Acertos</b>	30 (100%)	30 (100%)
<b>Média de Iterações</b>	4	4

Tabela 2: Comparação para  $K = 4$  grupos

$N = 30$ execuções	K-means	C-means
<b>Erros</b>	16 (53%)	5 (17%)
<b>Acertos</b>	14 (47%)	25 (84%)
<b>Média de Iterações</b>	7	9

Tabela 3: Comparação para  $K = 8$  grupos

$N = 30$ execuções	K-means	C-means
<b>Erros</b>	30 (100%)	24 (80%)
<b>Acertos</b>	0 (0%)	6 (20%)
<b>Média de Iterações</b>	13	24

## 4 Aplicação: segmentação de imagens por região

Após a validação do algoritmo *Fuzzy C-means* desenvolvido com a base de dados FCM, ele foi utilizado para segmentação de imagens RGB. Para isso, o conjunto de *pixels* da imagem no formato RGB foi transformado em uma matriz  $X = [r, g, b]$ . O algoritmo foi aplicado a essa matriz para identificação de  $K$  *clusters*. Ao final da execução, a matriz de partição  $U$  foi utilizada para colorir cada *cluster* da imagem com a tonalidade do *pixel* que corresponde ao centro da região, de forma que os *pixels* que apresentarem maior grau de compatibilidade (pertinência) a uma dada região foram coloridos com a tonalidade do *pixel* central daquela região.

Para todas as imagens testadas, o número inicial de *clusters* foi  $K = 5$ . Após uma primeira execução do algoritmo, a imagem resultante foi avaliada e, caso necessário, o número  $K$  foi incrementado. Para a maioria dos casos, o valor de  $K$  com resultado satisfatório foi  $K = \{5, 6\}$ . Houve dois casos em que foi utilizado  $K = 8$  devido ao número de cores diferentes presentes na imagem, que foram os casos das Figuras 20 e 22.

Essa aplicação mostra a versatilidade e a eficiência do algoritmo *Fuzzy C-means*, pois é possível aplicá-lo a diferentes tipos de dados e, como foi apresentado na seção 3, esse algoritmo apresenta desempenho melhor que um algoritmo semelhante (*K-means*). Além disso, percebe-se que o número de grupos necessário para segmentar a imagem de forma satisfatória não é muito grande, o que diminui o esforço computacional para realização da aplicação.



Figura 5: Imagem original



Figura 6: Imagem resultante  $K = 5$



Figura 7: Imagem original



Figura 8: Imagem resultante  $K = 5$



Figura 9: Imagem original



Figura 10: Imagem resultante  $K = 5$



Figura 11: Imagem original



Figura 12: Imagem resultante  $K = 5$



Figura 13: Imagem original

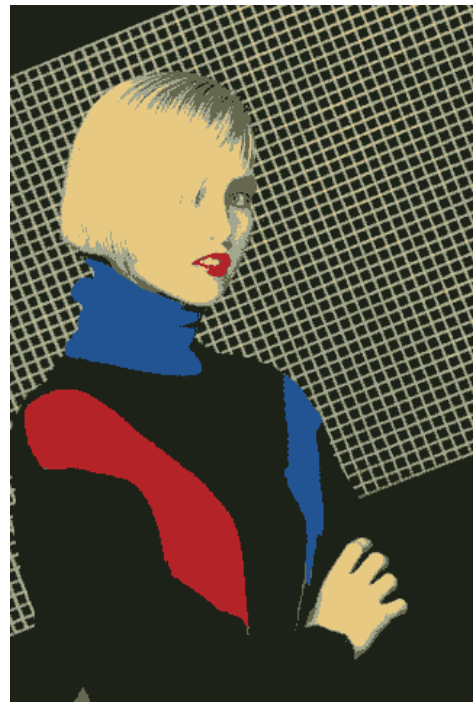


Figura 14: Imagem resultante  $K = 6$



Figura 15: Imagem original

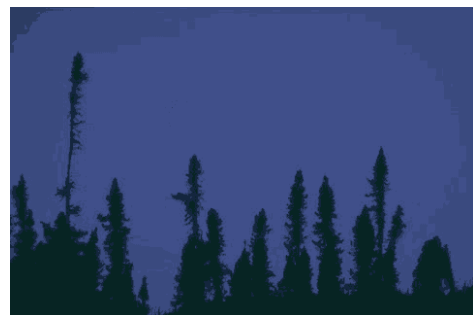


Figura 16: Imagem resultante  $K = 5$



Figura 17: Imagem original



Figura 18: Imagem resultante  $K = 6$





Figura 19: Imagem original



Figura 20: Imagem resultante  $K = 8$

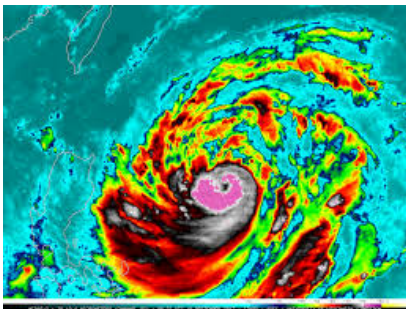


Figura 21: Imagem original

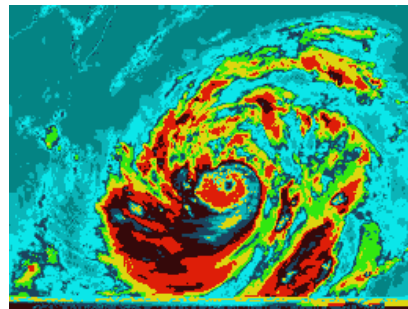


Figura 22: Imagem resultante  $K = 8$

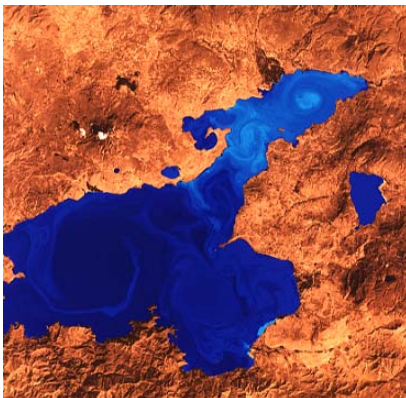


Figura 23: Imagem original

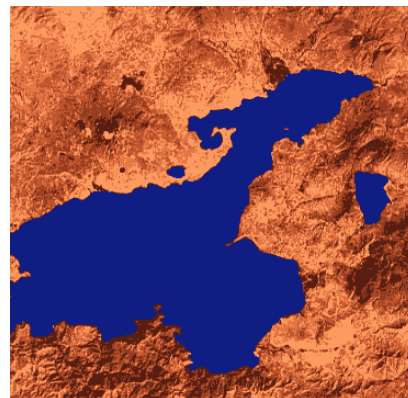


Figura 24: Imagem resultante  $K = 6$

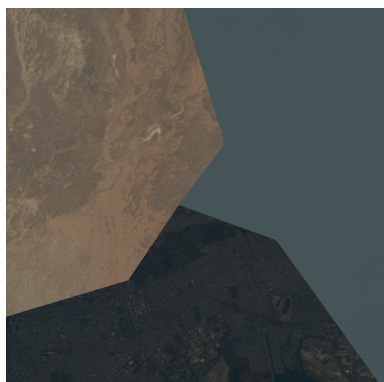


Figura 25: Imagem original

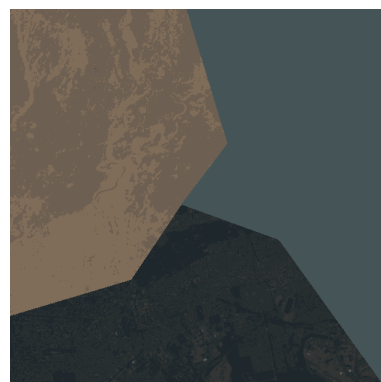


Figura 26: Imagem resultante  $K = 6$